

شبیه سازی عددی نگره اکمن در یک حوضه‌ی پنج لایه‌ی اقیانوسی

حسین فرجامی^{*}^۱، محمد تقی زمانیان^۲، اکبر رشیدی ابراهیم حصاری^۱، سیدعلی آزماسا^۱

۱. گروه فیزیک دریا، دانشکده علوم دریایی، دانشگاه تربیت مدرس

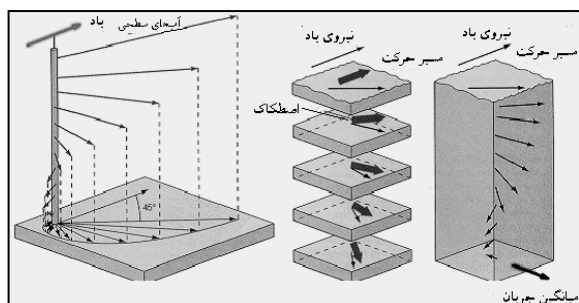
۲. پژوهشکده‌ی هواشناسی و علوم جوی

چکیده

از روش‌های معمول برای بررسی و پیش‌بینی جریانات اقیانوسی روش عددی می‌باشد. در این تحقیق تئوری اکمن با استفاده از یک مدل عددی مبتنی بر معادلات مقدم در دستگاه مختصات کروی زمین با آرایه‌ی قائم سیگما در یک حوضه‌ی فرضی پنج لایه‌ی اقیانوسی شبیه‌سازی شد. موقعیت حوضه‌ی مورد مطالعه در این تحقیق موقعیت جغرافیایی خلیج فارس می‌باشد. حوضه مذکور دارای کف تراز بوده و میانگین عمق آن ۱۲۰ متر است. برای حل عددی معادلات مدل از روش تفاضل متناهی استفاده گردید. در این تحقیق، مارپیچ اکمن در حوضه‌ی مذکور مورد بررسی قرار گرفت و نتایج به دست آمده با مفاهیم نظری مطرح شده مارپیچ اکمن هم‌خوانی دارد.

واژگان کلیدی: شبیه سازی عددی، نگره اکمن، حوضه پنج لایه‌ی اقیانوسی.

* نویسنده مسؤول، پست الکترونیک: hfarjami@gmail.com



شکل ۱. مارینیج اکمن

دراگو و همکاران در سال ۲۰۰۰ با استفاده از روش عددی تفاضل متناهی به بررسی جریانات بادرانده در چارچوب مختصات دکارتی با آرایه‌ی قائم سیگما پرداخته‌اند. که این مدل توانایی بررسی مارینیج اکمن را نیز دارد(Davis, 1983). الستر در سال ۲۰۰۴ به بررسی اثر چرخش زمین بر روی فرایندهای فصل مشترک هوای-دریا پرداخته‌اند و بعضی جنبه‌های نتایج اکمن را در دریای شمال را بررسی نموده‌اند(Alastair, 2004). هیگدن در سال ۲۰۰۵ چرخش‌های اقیانوسی را به‌شکل چندلایه مدل‌سازی کرد که برای گام‌های زمانی از روش دوگامی استفاده نمود(Higdon, 2005).

بخشایی و زمانیان در سال ۱۳۷۶ با استفاده از یک شبیه سازی عددی سه بعدی جریانات ناشی از رانش باد را در یک حوضه دو لایه فرضی مورد بررسی قرار داده است(بخشایی، ۱۳۷۶). رشیدی و همکاران در سال ۱۳۸۵ جریانات ناشی از کشنند و اختلاف چگالی را با استفاده از روش عددی تفاضل متناهیدر یک حوضه اقیانوسی دو لایه را شبیه‌سازی کردند(زمانیان، ۱۳۸۴).

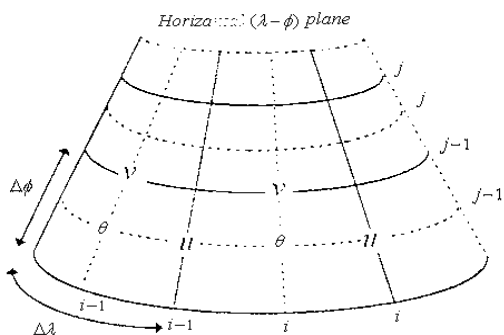
در این تحقیق اثر چرخش زمین جریانات ناشی از باد در یک حوضه اقیانوسی پنج لایه مورد بررسی قرار گرفت. یعنی در این شبیه‌سازی درستی نگره اکمن که به‌شکل نظری در مورد جریانات بادرانده مطرح شده است را در یک مدل پنج لایه اقیانوسی بررسی شد. این شبیه‌سازی در مرحله عملیاتی کردن قابلیت پذیرش شرایط واقعی هر محیط اقیانوسی را خواهد داشت.

۱. مقدمه

جرمی از آب، پیوسته به خاطر لختی آن به حرکت در می‌آید. اگر این جرم در فضا بود، طبق قانون دوم نیوتون در مسیر مستقیم حرکت می‌کرد. اما بخاطر چرخش زمین حرکت آن کاملاً متفاوت است. تکانه باد بوسیله تنش سطحی از جو به محیط اقیانوسی منتقل می‌شود. طبق نظریه اکمن در حالت کلی، جهت جریانات سطحی ناشی از باد، ۴۵ درجه به سمت راست بادسوی در نیم‌کره‌ی شمالی و ۴۵ درجه به سمت چپ بادسوی در نیم‌کره‌ی جنوبی می‌باشد. این مدل اکمن به‌شکل ایده‌آل با نمودار چگالی ثابت و عمق بی‌نهایت است در زیر سطح به‌شکل نمایی سرعت این جریانات کاهش و جهت‌شان نیز تغییر می‌کند(Lewis et al., 2003).

یکی از مهم‌ترین جریانات در محیط اقیانوسی، جریانات بادرانده^۱ می‌باشد، که این جریانات در مسیر بادایجاد نمی‌گردند بلکه سوی این جریانات با بادسوی زاویه می‌سازند(شکل ۱). که این موضوع‌اعولین بار در حدود سال ۱۸۹۸ توسط نانسن^۲ مطرح شد. اکمندر سال ۱۹۰۲ به‌طور کمی چرخش جریانات بادرانده نسبت به سوی باد که توسط نانسن مطرح شده بود، در یک محیط اقیانوسی در شرایط آرامانی^۳ به شکل تحلیلی حل نمود(Pond et al., 1983). موقعی که جملات غیرخطی و اصطکاکی را در معادلات حرکت و هم‌چنین شکل واقعی کف دریا و خط ساحلی را در نظر گرفته شود، نمی‌توان این معادلات را برای جریانات اقیانوس‌ها به شکل تحلیلی حل نمود بنابراین از مدل‌های عددی برای حل این معادلات استفاده می‌کنند(عظیمیان، ا. ر.؛ Anderson et al., 1995).

1. Wind drive current
2. Nansen
3. Ideal



شکل ۲. صفحه‌ی افقی شبکه‌ی آراکاوای C تعدلی یافته $(\lambda - \phi)$.

دلیل انتخاب دستگاه مختصات کروی زمین آن است که چنان‌چه محیط اقیانوسی ما بزرگ باشد دستگاه به کار رفته به تواند زمین را برآش نماید (زمانیان، ۱۳۸۴). آرایه قائم سیگما در مدل‌های طراحی شده به شکل‌های مختلف توسط مدل‌سازان مورد استفاده قرار گرفته است. که در این پژوهش این آرایه را به شکل رابطه‌ی ۱ که توسط زمانیان معرفی گردیده است، در نظر گرفته شده است. همچنین رشیدی و همکاران در سال ۱۳۸۵ در شبیه‌سازی جریانات ناشی از کشند و اختلاف چگالی و نیز گلشاهی و همکاران در سال ۱۳۸۵ در شبیه‌سازی امواج ناشی از باد در یک حوضه‌ی دولایه اقیانوسی از این آرایه استفاده نموده‌اند (رشیدی، و همکاران، ۱۳۸۵؛ گلشاهی و همکاران، ۱۳۸۵).

$$\sigma = \frac{p - p_A}{p_b - p_A} \quad (1)$$

که در آن σ آرایه‌ی قائم نرمال شده، p فشار در هر نقطه از محیط اقیانوسی، p_b فشار بستری، p_A فشار کف و r فشار جوّ بر روی محیط اقیانوسی می‌باشد. امروزه شکل‌های مختلفی از این آرایه (σ)، بسته به نظر مدل‌سازان به کار رفته است. از جمله در مدل POM این آرایه به شکل $\sigma = \frac{z - \eta}{H + \eta}$ استفاده شده

است. همان‌گونه که از تعریف بر می‌آید، سیگما یک آرایه‌ی بدون بعد است. با محاسبه‌ی سیگما بر روی سطح و بستر محیط اقیانوسی معلوم می‌شود که:

دلیل استفاده از حوضه‌ی پنج لایه‌ی اقیانوسی به‌خاطر این است که در یک حوضه‌ی تک یا دو لایه‌ی اقیانوسی نمی‌توان به خوبی پدیده‌هایی مانند انتشار دوگانه^۱، امواج داخلی^۲ یا نگره‌ی اکمن را به دلیل تعداد کم لایه‌ها نشان داد، به این دلیل از یک حوضه‌ی پنج لایه‌ی اقیانوسی استفاده می‌کنیم (زمانیان، ۱۳۸۴).

۲. مواد و روش‌ها

برای حل عددی معادلات و گسسته‌ی سازی آن‌ها از روش عددی تفاضل متناهی استفاده شده است. برای همین منظور برای جملات فوارفتی از طرح واره لکس-وندروف دوگامی^۳ و برای جملات انتشاری از طرح واره دوفورت-فرانکل^۴ استفاده شده است (Haltiner, et al., 1980). شبکه‌بندی محیط به شکل شبکه‌ی آراکاوای C تعدلی یافته^۵ باشد (Kantha, et al., 2000). در این شبکه u و v در نقاط مشخص شده در شکل ۲ محاسبه می‌گردند، در محل θ فراسنجهای s ، T ، $\dot{\sigma}$ ، p_b ، p و r مطابق شکل ۲ پیش‌بینی یا محاسبه می‌شوند (Higdon, 2005).

که در این معادلات s شوری، T دما، $\dot{\sigma}$ معرف سرعت قائم، p_b فشار بستری، p فشار، r چگالی و θ فاصله‌ی شعاعی هر نقطه از مرکز زمین می‌باشد. دستگاه مختصات کروی زمین با آرایه‌ی قائم سیگما دستگاه مختصات کروی زمین با آرایه‌ی قائم سیگما می‌باشد. استفاده از آرایه‌ی قائم سیگما باعث می‌شود که همه‌ی محیط اقیانوسی ما دارای یک تعداد لایه باشد و در مراحل عملیاتی کردن، این شبیه‌سازی برای بستر ناهموار حوضه‌ی اقیانوسی، قابلیت پذیرفتن پستی و بلندی بستری و شرایط هندسی هر حوضه‌ی دیگری را خواهد داشت (زمانیان، ۱۳۸۴).

1. Double diffusion
2. Internal wave
3. Two step lax-wendruf scheme
4. Dufort-Frankel scheme
5. Modified Arakawa C

۱. معادلات تکانه، ۲. معادله‌ی پیوستگی^۳. قوانین اول و دوم گرمایپوشی^۴. معادله‌ی حجم و بیزه^۵. معادله‌ی دما^۶. معادله‌ی رسانایی گرمایی^۷. معادله‌ی شوری^۸. معادله‌ی حالت آب. موقعی که باد بر روی یک محیط اقیانوسی می-وزد، تکانه باد به دلیل وجود اصطکاک بین محیط جوی و اقیانوسی؛ به محیط اقیانوسی منتقل می‌شود و سرعت باد کاهش یافته و جریانات سطحی ایجاد می‌شود که به علت ناروانی لایه‌های مختلف آب انتقال تکانه به شرطی که باد به شکل پایا^۹ به وزد، تا بستر ادامه می‌یابد. جریاناتی که در اثر ناروانی در لایه‌های مختلف ایجاد می‌شود با هم برابر نیست به این منظور برای به دست آوردن میدان جریانات در لایه‌های مختلف نیاز به دانستن نیروی اصطکاکی در لایه مختلف را داریم(Davis, 1983). در معادله‌ی حرکت افقی جمله اصطکاکی به شکل رابطه‌ی (۴) در می‌آید:

(۴)

$$\mathbf{F} = \frac{-g}{p_b - p_A} \frac{\partial \tau}{\partial \sigma}$$

که در آن τ تنش برشی^{۱۰} یا نیروی ناروانی^{۱۱} برای واحد سطح و g شتاب گرانش زمین است. حال یک مدل پنج لایه‌ای را در نظر می‌گیریم که می-خواهیم نیروی اصطکاکی را روی ترازهای^{۱۲}، ^{۱۳}، ^{۱۴}، ^{۱۵} و ^{۱۶} آن، همچنان که در شکل^{۱۷}، که ساختار قائم یک مدل سه بعدی و پنج لایه را نشان می‌دهد، محاسبه نماییم.

اگر دولایه از آب را در نظر بگیریم، چنان چه در راستای قائم، لاقل یکی از فراسنج‌های اقیانوس‌شناختی^{۱۸} این دولایه، متفاوت باشد، این محیط اقیانوسی، محیطی دولایه معرفی می‌شود. به همین قیاس، محیطی را پنج لایه می‌گوییم که در راستای قائم، لاقل یک فراسنج اقیانوس‌شناختی، دو

- 3. Steady
- 4. Shearing stress
- 5. Viscous force
- 6. Oceanic parameters

$$\begin{cases} p = p_A \rightarrow \sigma = 0 \\ p = p_b \rightarrow \sigma = 1 \\ 0 \leq \sigma \leq 1 \end{cases} \quad (۲)$$

که در این روابط $\sigma = 0$ مربوط به سطح اقیانوس و $\sigma = 1$ کف اقیانوس را در این دستگاه شامل می‌شود. $0 \leq \sigma \leq 1$ مربوط به سطوح میانی است. معادلات حاکم در این دستگاه طبق تعریف سیگما و معادلات حاکم در دستگاه مختصات کروی زمین طبق تبدیلات زیر به دست می‌آید:

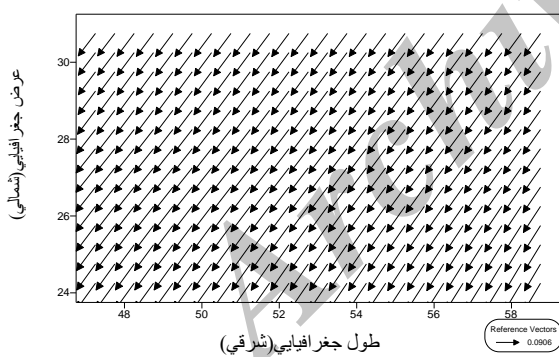
$$\begin{cases} \left(\frac{\partial \dots}{\partial \lambda} \right)_r = \left(\frac{\partial \dots}{\partial \lambda} \right)_\sigma + \frac{\rho}{p_b - p_A} \frac{\partial \dots}{\partial \sigma} \left(\frac{\partial \Phi}{\partial \lambda} \right)_\sigma \\ \left(\frac{\partial \dots}{\partial \phi} \right)_r = \left(\frac{\partial \dots}{\partial \phi} \right)_\sigma + \frac{\rho}{p_b - p_A} \frac{\partial \dots}{\partial \sigma} \left(\frac{\partial \Phi}{\partial \phi} \right)_\sigma \\ \frac{\partial \dots}{\partial r} = - \frac{\rho g}{p_b - p_A} \frac{\partial \dots}{\partial \sigma} \end{cases} \quad (۳)$$

که در این روابط λ , ϕ و r به ترتیب آرایه‌ی شمال‌سی و سرسوی در دستگاه کروی زمین می‌باشد.

برای این که یک مدل اقیانوسی چگال‌گرایی^{۱۹} که نسبت به اثرات تنش باد و اثرهای دما و شوری حساسیت خوبی نشان به دهد بایستی شامل جمله‌های پوششی^{۲۰} لازم در هر منطقه و دقت مناسب برای هر لایه و هم چنین در مرزها باشد. قوانین فیزیکی حاکم بر این پدیده‌ها عبارتند از: قانون دوم نیوتون؛ قوانین پایستگی جرم، نمک و شارش گرما، قوانین اوّل و دوم گرمایپوشی؛ معادله‌ی حرارت برای آب دریا. این قوانین در قالب معادلات زیر بیان می‌گردند (Gill, 1982; Kowalikz, 1993). نام این معادلات که در دستگاه مختصات کروی زمین با آرایه‌ی قائم سیگما بازنویسی شده‌اند، در زیر آمده است(زمانیان، ۱۳۸۴).

- 1. Baroclinic ocean model
- 2. Dynamic

مرزهای جانبی باز بوده و باد با تندی^۱ ۱۰ متر بر ثانیه و از سمت شمال بر روی سطح این محیط وزانده شده است؛ شبیه سازی کردیم. میدان جریان^۲ پس از ۹۶ ساعت (چهار روز) برای هر پنج لایه در شکل های ۴ تا ۸ به دست آمده است. اگر مرزها باز باشد انتظار می رود که نگرهی اکمن در این حوضه قابل بررسی باشد یعنی سوی جریانات در سمت راست بادسوسی باشد و از سطح تا عمق، تندی جریانات کاهش یابد، ضمن این که به سمت راست هم از بالا به پایین در نیم کره‌ی شمالی می چرخد (Gill, 1982). درست به همان گونه که در شکل های یادشده بala مشاهده می گردد یعنی سوی جریانات در سمت راست بادسوسی و برای پنج لایه از بالا تا پایین تندی جریانات کاهش یافته است. همچنین چون در این حالت اثر مرزهای جانبی حذف شده است، جریانات یکنواخت در لایه های اول و دوم و سوم داریم و در لایه های چهارم و پنجم به خاطر وجود اصطکاک بستری این یکنواختی دیده نمی شود.



شکل ۴. میدان جریان ناشی از اعمال نیروی باد شمالی با تندی ۱۰ متر بر ثانیه، در لایه ای اول پس از ۹۶ ساعت؛ بیشینه تندی^۱ /۰۹۰۶ متر بر ثانیه می باشد.

1. Speed
2. Current field

مقدار مساوی پشت سرهم نداشته باشد. مقداری که به هر فراسنج (مانند u, v, \dots) در هر لایه منتنسب می شود، میانگین مقدار آن فراسنج در آن لایه می باشد که این مقدار میانگین را به وسط لایه ها یعنی ترازهای زوج که در شکل ۳ آمده است نسبت می دهیم.

σ	فراسنچ های محاسبه شده در تراز ها							تراز
.				$\dot{\sigma} = 0$				۱
.۱	p_1	ρ_1	T_1	s_1	u_1	v_1	V_1	Φ_1
.۲				$\dot{\sigma}$				۲
.۳	p_2	ρ_2	T_2	s_2	u_2	v_2	V_2	Φ_2
.۴								۳
.۵	p_3	ρ_3	T_3	s_3	u_3	v_3	V_3	Φ_3
.۶								۴
.۷	p_4	ρ_4	T_4	s_4	u_4	v_4	V_4	Φ_4
.۸								۵
.۹	p_5	ρ_5	T_5	s_5	u_5	v_5	V_5	Φ_5
.				$\dot{\sigma} = 0$				۶
.					P_b			۷
.								۸
.								۹
.								۱۰

شکل ۲. ساختار قائم یک مدل پنج لایه ای بر اساس معادلات مقدم.

با استفاده از این روابط برای نیروی اصطکاک در لایه ای اول می توان نوشت:

$$F_2 = -\frac{5g}{p_b - p_A} (\tau_3 - \tau_1) \quad (5)$$

برای لایه های میانی یعنی برای ترازهای ۶، ۶ و ۸ از روابط زیر استفاده می کنیم:

$$F_k = -\frac{5g}{p_b - p_A} (\tau_{k+1} - \tau_{k-1}) \quad (6)$$

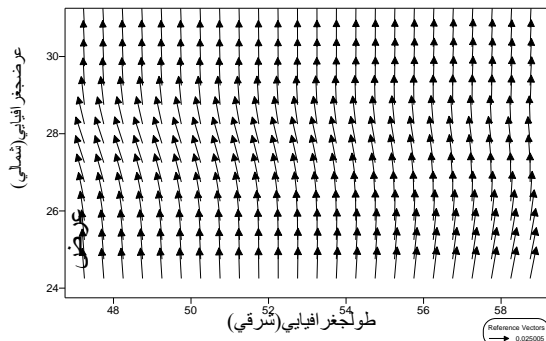
نیروی اصطکاکی در لایه پنجم یعنی تراز ۱۰ به شکل زیر در می آید:

$$F_{10} = -\frac{5g}{p_b - p_A} (\tau_{11} - \tau_9) \quad (7)$$

$$F_{10} = -\frac{5g}{p_b - p_A} (\tau_{11} - \tau_9) \quad (7)$$

۳. نتایج

در این تحقیق محیط مورد مطالعه بین عرض ۲۴ الی ۳۰ درجه‌ی شمالی و طول های ۴۷ تا ۵۸ درجه شرقی قرار دارد. جریانات را برای هر پنج لایه بر اساس معادلات مطرح شده، در حالتی که

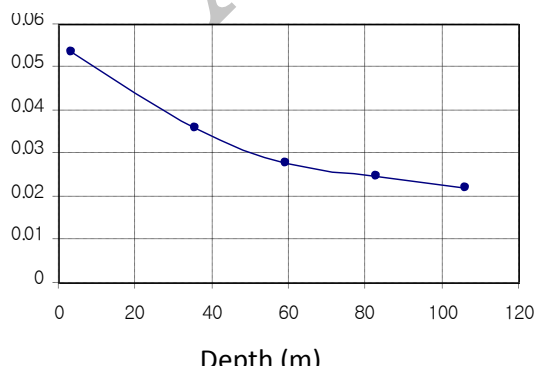


شکل ۸. میدان جریان ناشی از اعمال نیروی باد شمالی با تندی ۱۰ متر بر ثانیه، در لایه‌ی پنجم پس از ۹۶ ساعت؛ بیشینه‌ی تندی 0.025 متر بر ثانیه می‌باشد.

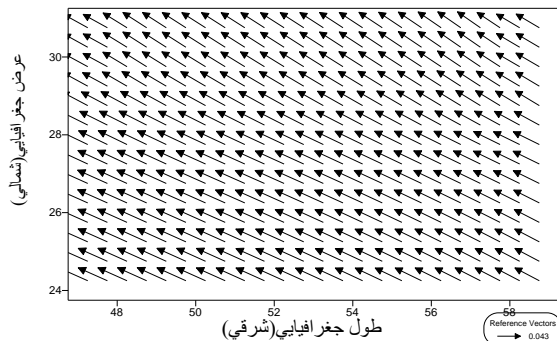
همان گونه در شکل‌های (۷) و (۸) ملاحظه می‌گردد جریانات برای لایه‌ی چهارم و پنجم تقریباً هم سوی هستند که به دلیل محدود بودن عمق محیط و وجود اصطکاک بستری می‌باشد.

۴. بحث و نتیجه گیری

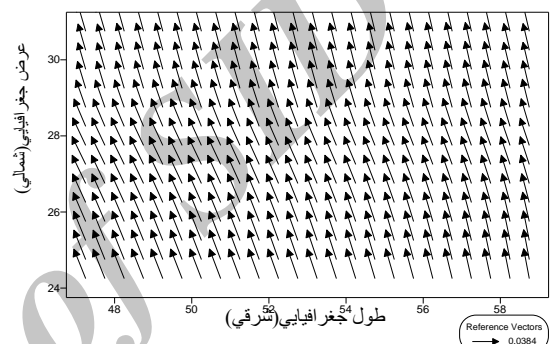
در این تحقیق انتظار می‌رفت که تندی جریانات از سطح تا عمق کاهش یافته و سوی جریانات نیز تغییر نماید. نمودار ۱ اندازه‌ی جریانات را از سطح تا عمق برای پنج لایه نشان می‌دهد. همان‌گونه که در نمودار مذکور مشاهده می‌شود اندازه‌ی جریان نسبت به افزایش ژرفای کاهش می‌یابد. همان‌طور که در شکل‌های ۴ تا ۸ مشاهده می‌شود با افزایش ژرفای این جریانات به سمت راست بادسوی می‌چرخند که تاییدی بر وجود مارپیچ اکمن برای مدل طراحی شده می‌باشد.



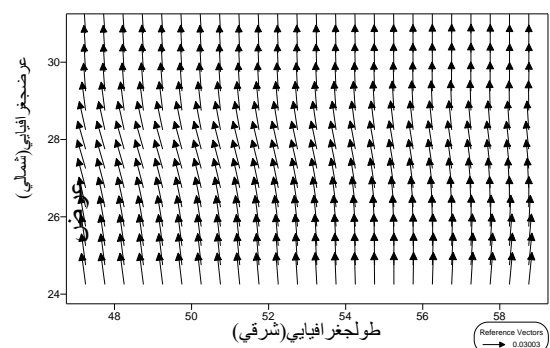
نمودار ۱. اندازه‌ی جریان نسبت به ژرفای با اعمال نیروی باد با تندی ۱۰ متر بر ثانیه، در حالتی که تمامی مرزهای جانی باز می‌باشند.



شکل ۵. میدان جریان ناشی از اعمال نیروی باد شمالی با تندی ۱۰ متر بر ثانیه، در لایه‌ی دوم پس از ۹۶ ساعت؛ بیشینه‌ی تندی 0.043 متر بر ثانیه می‌باشد.



شکل ۶. میدان جریان ناشی از اعمال نیروی باد شمالی با تندی ۱۰ متر بر ثانیه در لایه‌ی سوم پس از ۹۶ ساعت؛ بیشینه‌ی تندی 0.0384 متر بر ثانیه می‌باشد.



شکل ۷. میدان جریان ناشی از اعمال نیروی باد شمالی با تندی ۱۰ متر بر ثانیه، در لایه‌ی چهارم پس از ۹۶ ساعت؛ بیشینه‌ی تندی 0.03003 متر بر ثانیه می‌باشد.

منابع

بخشایی، آ.، زمانیان، م.ت.، ۱۳۷۶. شبیه سازی جریان های باد رانده اقیانوسی در یک حوضه فرضی دو لایه، پایان نامه کارشناسی ارشد، دانشگاه آزاد اسلامی واحد تهران شمال، دانشکده علوم و فنون دریایی، گروه هواشناسی، ۷۷ صفحه.

رشیدی، ا.، و همکاران، ۱۳۸۵. شبیه سازی جریانات ناشی از کشند و اختلاف چگالی در یک حوضه ای دولایه ای فرضی. دانشگاه تربیت مدرس، دانشکده علوم دریایی، ۱۴۴ صفحه.

زمانیان، م.ت.، ۱۳۸۴. پژوهشی مدل دو لایه ای اقیانوسی پایه، پژوهشکده هواشناسی و علوم جو.

عظیمیان، ا. ر. ۱۳۸۲. دینامیک سیالات محاسباتی برای مهندسان، جلد اول، چاپ دوم، دانشگاه صنعتی اصفهان، مرکز نشر، صفحات ۸۶-۱۰.

فرجامی، ح.، زمانیان، م. ت. ۱۳۸۵. شبیه سازی عددی جریانات بادرانده در یک حوضه پنج لایه فرضی اقیانوسی، پایان نامه کارشناسی ارشد فیزیک دریا، دانشگاه تربیت مدرس، ۱۰۸ صفحه.

گلشاهی، ح.، و همکاران، ۱۳۸۵. شبیه سازی عددی امواج ناشی از باد در حوضه ای دولایه ای فرضی اقیانوسی، دانشگاه تربیت مدرس، دانشکده علوم دریایی، ۱۱۱ صفحه.

Anderson, Jr.John D. 1995, Computational fluid dynamics the basics with applications. McGraw-Hill, Inc, p547.

Aple, J.R., 1990. Principles of ocean physics. London Academic Press, p 634.

Davis, A.M., 1983. Application of a three-dimensional shelf model to the calculation of North Sea currents, in "North Sea dynamics", pp: 1- 85.

Drago, M., Iovenitti, L., 2000. σ -Coordinates hydrodynamic numerical model for coastal and ocean three-dimensional circulation. Ocean Engineering 27, pp. 1065-1085.

George L. and Pickard 1990. Descriptive physical oceanography, p320.

Gill, A.E., 1982. Atmosphere-ocean dynamics. Academic press, Florida, Pp: 622.

همان گونه که در مقدمه گفته شد نانسن در سال ۱۸۹۸ به طور کیفی مشاهده کرد که کوههای یخ در جهت باد حرکت نمی کنند و هم چنین اکمن در سال ۱۹۰۵ نشان داد که رفتار مشاهده شده توسط نانسن ناشی از نیروی کوربولیس می باشد، به عبارتی تاثیر چرخش زمین روی اجسامی که مرتبط با زمین حرکت می کنند، می باشد. ایشان در حالت آرمانی به شکل کمی معادلات جریانات بادرانده را حل نموده و به این نتیجه رسید که زاویه چرخش این جریانات به سمت راست جهت بادسوزی در نیم کره شمالی و به سمت چپ بادسوزی در نیم کره جنوبی می باشد هم چنین این جریانات از سطح تا عمق به سمت راست می چرخند و تندی این جریانات کاهش می یابد(Pond,*et al.*, 1983). چون حوضه معرفی شده در این پژوهش در نیم کره شمالی قرار دارد، همان گونه که در شکل های ۴ تا ۸ بررسی کردیم جریانات حاصل از نیروی باد شمالی در سمت راست جهت باد ایجاد شده و از سطح تا عمق این جریانات برای لایه های اول تا پنجم کاهش یافته است که وجود نگرهی اکمن در این مدل پنج لایه ای اقیانوسی را نشان می دهد و این نتیجه با مفاهیم نظری مارپیچ اکمن طرح شده توسط بسیاری از نویسندگان از George., 1990 جمله پوند و پیکارد مطابقت دارد(Aple, 1990). هم چنین با مفاهیم مطرح شده در ۲۰۰۶ مورد نگرهی اکمن که توسط استوارت در سال در کتاب مبانی اقیانوس شناسی فیزیکی بیان شده است، هم خوانی دارد(Higdon., 2006). با نتایج زمانیان، ۱۹۹۴ منطبق است (Zamanian, 1994). درآگو در سال ۲۰۰۰ به همین نتیجه برای جریانات بادرانده دست یافت(Drago, *et al.*, 2000). الستر در سال ۲۰۰۴ در بررسی اثر چرخش زمین بر روی فرایندهای فصل مشترک هوا- دریا به نتایج مشابهی دست یافت(Alastair, 2004).

Lewis, D.M. and Belcher, S.E. 2003. Time-dependent coupled Ekman boundary layer solutions incorporating Stokes drift. Submitted to Dynamics Atmos. Ocean models: Further development and testing, J. Comput. Phys. 206, Pp: 463–504.

Pond, S. and G. L. Pickard, 1983. Introductory dynamical oceanography, Pergamon Press, Pp: 329.

Zamanian, M.T., 1994. Three-dimensional model for Persian Gulf.Ph.D dissertation, university of the Philippines.

Haltiner, G.J., Williams, R.T., 1980. Numerical prediction and dynamic meteorology. John Wiley and sons, Pp. 250.

Higdon , L. 2006. Numerical modelling of ocean circulation.Cambridge University Press, Printed in the United Kingdom.

Higdon, R. L. 2005, A two-level time-stepping method for layered ocean circulation

Kantha, L., Clayson, C., 2000. Numerical models of oceans and oceanic processes. San Diego, Academic Press, pp: 1-490.

Kowalikz, 1993.Numerical modeling of ocean dynamic.Co. PteU pp. 480.